

## ФУНКЦІОНАЛЬНІ ЗАЛЕЖНОСТІ П'ЯТИЛАНКОВИХ КУЛАЧКОВО-ВАЖІЛЬНИХ МЕХАНІЗМІВ

У складальних, друкарських, брошуровально-палітурних поліграфічних машинах широко застосовуються п'ятиланкові плоскі кулачково-важільні механізми, створені приєднанням до триланкового кулачкового механізму шарнірно-важільної групи з поступальною парою.

Проведена робота щодо виявлення і систематизації названих механізмів поліграфічних машин дозволила встановити:

1. Для більшості кривошипно-повзунних механізмів, які створюють другий контур, не дотримується умова повного обертання кривошипа, виражена теоремою Грасгофа

$$R_K + e \leq l_{ш} \text{ або } 1 + \delta \leq \lambda,$$

де  $\lambda = \frac{l_{ш}}{R_K}$ ,  $\delta = \frac{e}{R_K}$ ;  $R_K$  — радіус кривошипа;  $l_{ш}$  — довжина шатуна;  $e$  — дезаксіал (надалі цей механізм будемо розглядати як коромислово-повзунний).

2. Проведені в [3], [1] аналітичні і параметричні дослідження кривошипно-повзунних механізмів і накопичена інваріантна інформація більші, ніж для 45 комбінацій безрозмірних геометричних параметрів  $0 = \lambda \leq 0,9$ ;  $0 = \delta \leq 0,8$  з інтервалом через 0,1 (в [1]  $\lambda = \frac{R_K}{l_{ш}}$ ,  $\delta = \frac{e}{l_{ш}}$ ) не поширюється на сімейство механізмів II контура (кулачково-важільних), тому що їх безрозмірні геометричні параметри перебувають у діапазоні

$$0,1 \leq \lambda \leq 1,65; \quad 0,5 \leq \delta \leq 1,2; \quad 0,1 \leq \xi \leq 1;$$

тут  $\lambda = \frac{l_{ш}}{R_K}$ ,  $\delta = \frac{e}{R_K}$ ,  $\xi = \frac{S_{\Sigma}}{R_K}$ ,  $S_{\Sigma}$  — переміщення повзуна.

Ця обставина зумовлює постановку самостійної задачі про параметричні дослідження коромислово-повзунних механізмів і накопичення наперед обчислених таблиць значень позиційних інваріантів подібності найважливіших кінематичних і динамічних параметрів.

На рис. 1 зображена розрахункова схема кулачково-важільного механізму.

Нерівномірне переміщення коромисла, яке одночасно є штовхачем кулачкового механізму, зумовлює методику розрахунку функціональних залежностей комбінованого механізму.

Відомо [3], що будь-який нерівномірний обертальний рух ланок механізмів можна розглядати ніби складеним з двох рухів: переносного з постійною кутовою швидкістю, яка дорівнює дійсній миттєвій швидкості обертання  $\omega$ , але при відсутності кутових прискорень  $\varepsilon = 0$ , і відносного з кутовим прискоренням, яке дорівнює дійсному кутовому прискоренню  $\varepsilon$ , але при відсутності кутової швидкості.

Відповідно до цього для розв'язання поставленої задачі необхідно розглянути окремо кінематику кулачкового механізму і коромислово-повзунного механізму, а потім перейти до визначення функціональних залежностей кулачково-важільного механізму.

Якщо відомі геометричні параметри кулачкового механізму і закон переміщення штовхача, тоді відповідно з [3] можна визначити кутові переміщення  $\gamma$ , кутові швидкості  $\omega_2$ , прискорення  $\varepsilon_2$ , кінетичну потужність  $N_2$  коромисла

$$\gamma = a_k \cdot \gamma_\Sigma, \quad \omega_2 = b_k \frac{\dot{\gamma}_\Sigma}{T}, \quad \varepsilon_2 = c_k \frac{\ddot{\gamma}_\Sigma}{T^2}, \quad N_2 = d_k \frac{J \dot{\gamma}_\Sigma^2}{T^3},$$

де  $a_k = \frac{\gamma}{\gamma_\Sigma} = f(k)$ ,  $b_k = f'(k)$ ,  $c_k = f''(k)$ ,  $d_k = b_k \cdot c_k$  — позиційні інваріанти подібності переміщення, швидкості, прискорення, кінетичної потужності

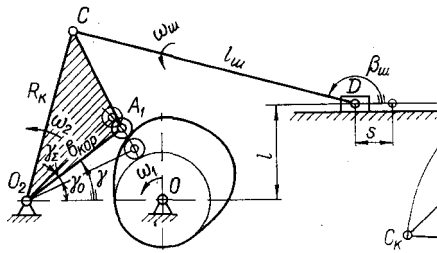


Рис. 1. Розрахункова схема кулачково-важільного механізму.

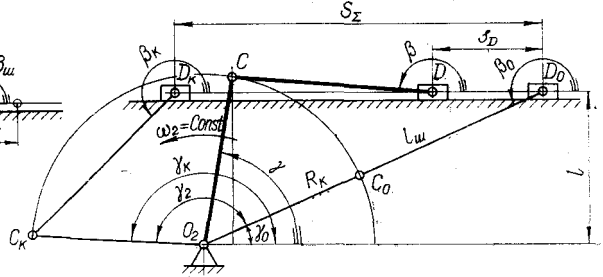


Рис. 2. Розрахункова схема коромислово-повзунного механізму.

ності, значення яких для конкретних законів періодичного руху знаходять з наперед обчислених таблиць [1];  $k = \frac{\varphi}{\varphi_y} = \frac{t}{T} = \frac{z}{z_m}$  — відносний час, або позиція механізму;  $T = \frac{\varphi_y}{\omega_1}$  — час однозначних переміщень коромисла;  $\omega_1 = \frac{\pi n}{30}$  — кутова швидкість обертання кулачкового валу;  $\gamma_\Sigma = \gamma_k - \gamma_0$  — кутовий розмах коромисла.

Геометричні, кінематичні і кінетичні параметри коромислово-повзунного механізму (рис. 2) при постійній швидкості обертання коромисла  $\omega_2 = \frac{\dot{\gamma}_\Sigma}{T} = \text{const}$  виражаються такими залежностями.

Початковий кут відліку для коромисла

$$\gamma_0 = \arcsin \frac{\delta}{1 + \lambda}, \quad (1)$$

де  $\lambda = \frac{l_\omega}{R_k}$ ,  $\delta = \frac{e}{R_k}$ ,  $\xi = \frac{S_\Sigma}{R_k}$  — безрозмірні геометричні параметри. Кут повороту шатуна

$$\beta = \arcsin \frac{\sin \gamma - \delta}{\lambda}. \quad (2)$$

Крайній кут повороту коромисла з умови обмеження кута тиску

$$\gamma_k = \arcsin (\delta + \lambda \sin [\beta_m]), \quad (3)$$

де  $[\beta_m]$  — допустимий кут тиску.

Кутовий розмах коромисла

$$\gamma_\Sigma = \gamma_k - \gamma_0 = \arcsin (\delta + \lambda \sin [\beta_m]) - \arcsin \frac{\delta}{1 + \lambda}. \quad (4)$$

Хід повзуна

$$S_\Sigma = R_k [(1 + \lambda) \cos \gamma_0 + \lambda \cos [\beta_m]] - \cos \gamma_k. \quad (5)$$

Поточне переміщення повзуна вліво від крайньої точки

$$s^D = (R_K + l_{III}) \cos \gamma_0 - R_K \cos \gamma + l_{III} \cos \beta. \quad (6)$$

Інваріант подібності переміщень повзуна

$$s_1 = \frac{s^D}{R_K} = (1 + \lambda) \cos \gamma_0 + \lambda \cos \beta - \cos \gamma, \quad (7)$$

або

$$s_1 = \sqrt{(1 + \lambda)^2 - \delta^2} + \lambda \cos \beta - \cos \gamma.$$

Інваріант подібності швидкості повзуна

$$V_{D1} = \frac{ds_1}{d\gamma} = \sin \gamma - \lambda \sin \beta \cdot \frac{d\beta}{d\gamma},$$

$$\frac{d\beta}{d\gamma} = \omega_{21} = \frac{\cos \gamma}{\lambda \cdot \cos \beta}, \quad (8)$$

де  $\omega_{21}$  — інваріант подібності кутової швидкості шатуна;

$$V_{D1} = -\cos \gamma \cdot \operatorname{tg} \beta + \sin \gamma = \frac{\sin(\gamma - \beta)}{\cos \beta}. \quad (9)$$

Лінійна швидкість повзуна

$$V_D = V_{D1} \cdot |\omega_2 \cdot R_K|. \quad (10)$$

Інваріант подібності прискорення повзуна

$$W_{D1} = \frac{dV_{D1}}{d\gamma} = \cos \gamma + \sin \gamma \cdot \operatorname{tg} \beta - \frac{\cos^2 \gamma}{\lambda \cos^3 \beta}. \quad (11)$$

Лінійне прискорення повзуна

$$W_D = W_{D1} \cdot |\omega_2^2 \cdot R_K|. \quad (12)$$

Інваріант кутового прискорення шатуна

$$\varepsilon_{21} = \frac{d\omega_{21}}{d\gamma} = -\omega_{21}^2 \cdot \operatorname{tg} \beta - \omega_{21} \cdot \operatorname{tg} \gamma. \quad (13)$$

Правила знаків при інших компоновках механізмів і напрямлені руху ланок визначаються відповідно з [3] або [1].

Функціональні залежності кулачково-важільного механізму з урахуванням зауважень про розчленування руху на переносний і відносний мають такий вигляд.

Лінійна швидкість повзуна

$$V_D = V_{D1} \cdot \omega_2 \cdot R_K = V_{D1} \cdot b_K \cdot \frac{\gamma_{\Sigma}}{T} \cdot R_K.$$

Комплексний позиційний інваріант подібності швидкості повзуна

$$b_{K4} = \frac{V_D}{V_{\text{цеп}}} = \frac{V_{D1} \cdot b_K \cdot \gamma_{\Sigma} \cdot T^{-1} \cdot R_K}{S_{\Sigma} \cdot T^{-1}} = \frac{\gamma_{\Sigma}}{\xi} \cdot V_{D1} \cdot b_K, \quad (14)$$

де  $b_{K4}$  включає інваріант подібності швидкості повзуна  $V_{D1}$  при  $\omega_2 = \text{const}$ ; інваріант подібності швидкості  $b_K$  штовхача кулачкового механізму і безрозмірний множник  $\frac{\gamma_{\Sigma}}{\xi}$ ,  $\xi = \frac{S_{\Sigma}}{R_K}$ .

З урахуванням (14) лінійна швидкість повзуна

$$V_D = b_{K4} \cdot \frac{S_{\Sigma}}{T}. \quad (15)$$

Закон змінення абсолютних лінійних швидкостей повзуна конкретного кулачково-важільного механізму і закон змінення комплексних позиційних інваріантів подібності швидкості повзуна «одиночного» механізму однакові за характером і відрізняються тільки масштабом.

Лінійне прискорення повзуна

$$W_D = \frac{dV_D}{dt} = (\omega_2^2 \cdot W_{D1} + V_{D1} \cdot \varepsilon_2) \cdot R_K = (\gamma_\Sigma^2 \cdot b_K^2 \cdot W_{D1} \cdot T^{-2} + \gamma_\Sigma \cdot c_K \cdot V_{D1} \cdot T^{-1}) \cdot R_K. \quad (16)$$

Комплексний позиційний інваріант прискорення повзуна кулачково-важільного механізму

$$c_{K4} = \frac{W_D}{W_{\text{сер}}} = \frac{\gamma_\Sigma}{\xi} \cdot (\gamma_\Sigma \cdot b_K^2 \cdot W_{D1} + c_K \cdot V_{D1}) \quad (17)$$

включає позиційні інваріанти подібності швидкості  $b_K$  і прискорення  $c_K$  кулачкового механізму і кінематичні інваріанти подібності  $V_{D1}$  і  $W_{D1}$  коромислово-повзунного механізму, визначені для випадку руху коромисла з постійною кутовою швидкістю  $\omega_2 = \frac{\gamma_\Sigma}{T} = \text{const}$ .

З урахуванням (17) лінійне прискорення повзуна

$$W_D = c_{K4} \cdot \frac{S_\Sigma}{T^2}. \quad (18)$$

Для кожного конкретного випадку комплексні позиційні інваріанти подібності відображають ті ж функціональні залежності, що і абсолютні значення позиційних прискорень  $W_D$  повзуна кулачково-важільного механізму.

Поточне переміщення повзуна

$$s_D = \int_0^t V_D \cdot dt = R_K [(1 + \lambda) \cos \gamma_0 + \lambda \cos \beta_{\text{ш}} - \cos (a_K \cdot \gamma_\Sigma)]. \quad (19)$$

Кут тиску в коромислово-повзунному контурі

$$\beta_{\text{ш}} = \arcsin \frac{\sin (a_K \gamma_\Sigma) - \delta}{\lambda}. \quad (20)$$

Комплексний позиційний інваріант переміщення повзуна

$$a_{K4} = \frac{s_D}{S_\Sigma} = \frac{(1 + \lambda) \cos \gamma_0 + \lambda \cos \beta_{\text{ш}} - \cos (a_K \gamma_\Sigma)}{(1 + \lambda) \cos \gamma_0 + \lambda \cos [\beta_m] - \cos \gamma_K}. \quad (21)$$

Тоді (19) з урахуванням (21)

$$s_D = a_{K4} \cdot S_\Sigma. \quad (22)$$

Кутова швидкість шатуна при  $\omega_2 \neq \text{const}$

$$\omega_{\text{ш}} = \omega_{21} \cdot b_K \cdot \gamma_\Sigma \cdot T^{-1}. \quad (23)$$

Кутове прискорення шатуна

$$\varepsilon_{\text{ш}} = \varepsilon_{21} \cdot b_K^2 \cdot \frac{\gamma_\Sigma^2}{T^2}. \quad (24)$$

Динамічні характеристики механізму також можна виразити в інваріантній формі з використанням кінематичних інваріантів подібності згідно з [3].

Момент сил інерції, зведених до коромисла кулачкового механізму,

$$M_{\text{ін}} = I_{\text{зв}} \cdot \varepsilon_2 = c_K \frac{I_{\text{зв}} \cdot \gamma_\Sigma}{T^2}, \quad (25)$$

де  $I_{\text{зв}}$  — момент інерції мас, зведений до коромисла.

Кінетична потужність

$$N_K = M_{\text{ін}} \cdot \omega_2 = d_K \frac{I_{\text{зв}} \cdot \gamma_\Sigma^2}{T^3}, \quad (26)$$

де  $d_k = b_k \cdot c_k$  — позиційний інваріант подібності кінетичної потужності.

У деяких випадках необхідно визначати силу інерції при переміщенні повзуна

$$P_{\text{ін}} = m_{\text{зв}} \cdot W_D = c_{k4} \cdot \frac{m_{\text{зв}} \cdot S_{\Sigma}}{T^2}, \quad (27)$$

де  $m_{\text{зв}}$  — маса, зведена до повзуна.

Кінетична потужність

$$N_D = P_{\text{ін}} \cdot V_D = d_{k4} \frac{m_{\text{зв}} \cdot S_{\Sigma}^2}{T^3}; \quad (28)$$

тут

$$d_{k4} = b_{k4} \cdot c_{k4} = \frac{\gamma_{\Sigma}^2}{\xi^2} (\gamma_{\Sigma} \cdot b_k^2 \cdot W_{D1} + c_k \cdot V_{D1}) \cdot b_k \cdot V_{D1} - \quad (29)$$

комплексний позиційний інваріант кінетичної потужності.

За період циклу однозначних переміщень позиційні кінематичні інваріанти змінюються за відповідними законами і у визначених фазах циклу досягають своїх максимальних значень, оцінюваних константами: для швидкостей  $|b_{k4}|_{\text{max}} = B_4$ ; для прискорень  $|c_{k4}|_{\text{max}} = C_4$ ; для кінетичної потужності  $(d_{k4})_{\text{max}} = D_4$ .

Абсолютні максимальні значення кінематичних і кінетичних величин визначаються множенням констант піків цих величин на відповідні масштаби переходу [3].

$$V_{D \text{max}} = B_4 \cdot \frac{S_{\Sigma}}{T}, \quad (30)$$

$$W_{D \text{max}} = G_4 \cdot \frac{S_{\Sigma}}{T^2}, \quad (31)$$

$$N_{D \text{max}} = D_4 \cdot \frac{m_{\text{зв}} \cdot S_{\Sigma}^2}{T^3}. \quad (32)$$

Одержані функціональні залежності (14)—(32) для п'ятиланкових кулачково-важільних механізмів дозволять на наступному етапі провести дослідження впливу взаємодії контурів при різних висхідних положеннях коромисла II контура на закони переміщення веденої ланки і дати конкретні рекомендації щодо синтезу цих механізмів з урахуванням кінематичних і динамічних характеристик.

#### ЛІТЕРАТУРА

1. Бордюг А. И. Методы теории подобия и теории размерностей при расчете кривошипно-шатунных механизмов. Автореферат канд. дисс., ЛПИ, Львов, 1957.
2. Главацкий А. С. Вопросы оптимизации синтеза кулачково-рычажных механизмов. Автореферат канд. дисс., ЛПИ, Львов, 1968.
3. Тир К. В. Механика полиграфических автоматов. М., «Книга», 1965.

A. V. BOYKO, A. S. GLAVATSKY

#### FIVE-LINKS CAM MECHANISMS FUCTIONAL DEPENDANCE

#### Summary

Invariant forme analytic conclusion of basic kinematic and dynamic functional dependance of five-links cam-lever mechanisms is given.

